

# Quelques théorèmes de géométrie du triangle

Daniel PERRIN

## Introduction

Les résultats qui suivent concernent la géométrie du triangle. L'auteur de ces lignes les tient de trois personnes : tout d'abord Gilbert Mahoux<sup>1</sup>, physicien retraité, qui a mis en évidence les points dont nous allons parler et a montré les premiers théorèmes, puis Richard Cauche, professeur de collège, qui a remarqué la magnifique propriété des centres des cercles circonscrits et enfin Guy Auberson, autre physicien retraité, qui en a donné une démonstration. Il s'est avéré depuis qu'une partie au moins de ce qui suit était déjà connue des experts<sup>2</sup>. Cette incertitude est inévitable sur un tel sujet. Il n'empêche que ces résultats sont très beaux. On en donne ici des preuves géométriques<sup>3</sup>.

## 1 Les points de Mahoux

**1.1 Notations.** Dans tout ce qui suit  $ABC$  désigne un triangle du plan. On note  $\hat{A}, \hat{B}$  et  $\hat{C}$  ses angles,  $A', B', C'$  les milieux des côtés  $[BC], [CA], [AB]$  respectivement,  $\omega$  le centre du cercle  $\Gamma$  inscrit dans  $ABC$  et  $I_A, I_B, I_C$  les points de contact de  $\Gamma$  avec les côtés  $[BC], [CA]$  et  $[AB]$ .

### 1.1 Les deux points relatifs à $C$

**1.2 Théorème. (Mahoux)** *Avec les notations précédentes, les droites  $(B'C')$ ,  $(C\omega)$  et  $(I_C I_A)$  sont concourantes en un point  $M$  et les droites  $(A'C')$ ,  $(C\omega)$  et  $(I_C I_B)$  sont concourantes en un point  $N$ .*

*Démonstration.* On note d'abord que les deux assertions sont identiques à l'échange près de  $A$  et  $B$ . On prouve ensuite un lemme (voir figure 1) :

---

1. Gilbert Mahoux est décédé le 7 février 2024. Cet article est dédié à sa mémoire.  
2. Voir <https://maths-olympiques.fr/wp-content/uploads/2023/02/cours.pdf> ex. 53 p.21.  
3. Les preuves initiales étaient calculatoires. Pour une autre approche, voir <https://www.imo.universite-paris-saclay.fr/~daniel.perrin/Livregeometrie/DPPartie5.pdf>

**1.3 Lemme.** On a la formule  $BC + AB - AC = 2BI_C$ .

*Démonstration.* On a  $AC = AI_B + I_B C = AI_C + CI_A$  (car les tangentes à un cercle issues d'un même point sont égales). On en déduit  $BC + AB - AC = (BC - CI_A) + (AB - AI_C) = BI_A + BI_C = 2BI_C$ .

Soit  $M$  le point d'intersection des droites  $(B'C')$  et  $(I_C I_A)$ . Il s'agit de montrer que  $(MC)$  est la bissectrice de l'angle  $\widehat{C}$  du triangle, donc de montrer que les angles  $\theta = \widehat{BCM}$  et  $\gamma = \widehat{MCA}$  sont égaux. Mais, comme la droite des milieux  $(B'C')$  est parallèle à  $(BC)$ , on a  $\mu = \widehat{CMB'}$  car ce sont des angles alternes-internes<sup>4</sup>. Il suffit donc de montrer qu'on a  $\gamma = \mu$  c'est-à-dire que  $CMB'$  est isocèle en  $B'$ , ou encore qu'on a  $B'C = B'M$ . On note qu'on a  $B'C = \frac{1}{2}AC$ . Comme les droites  $(BC)$  et  $(B'C')$  sont parallèles, les triangles  $C'MI_C$  et  $BI_A I_C$  sont semblables, et comme on a  $BI_A = BI_C$ , on en déduit  $C'M = C'I_C$ . Il y a deux cas :

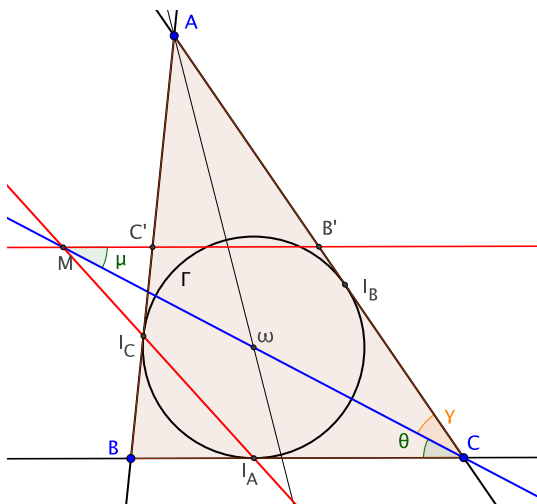


FIGURE 1 –

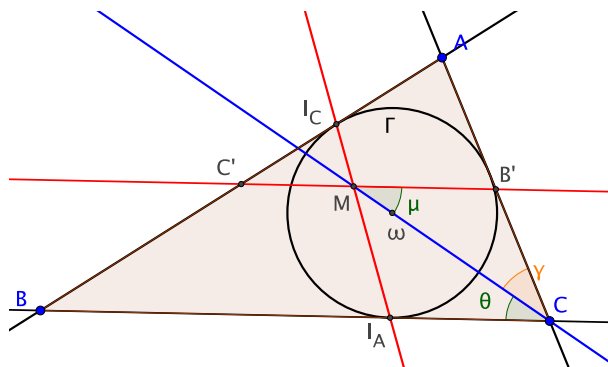


FIGURE 2 –

1) Si  $M$  est extérieur au triangle, voir figure 1,  $C'$  est entre  $B'$  et  $M$  et  $I_C$  entre  $B$  et  $C'$  et on a  $B'M = B'C' + C'M = \frac{1}{2}BC + C'M = \frac{1}{2}BC + C'I_C$  et  $C'I_C = BC' - BI_C = \frac{1}{2}AB - BI_C$ . En définitive, on a  $B'M = \frac{1}{2}BC + \frac{1}{2}AB - BI_C = \frac{1}{2}AC = B'C$  en vertu du lemme 1.3.

2) Si  $M$  est intérieur, voir figure 2,  $M$  est entre  $C'$  et  $B'$  et on a  $B'M = \frac{1}{2}BC - C'M$  et  $C'M = C'I_C = BI_C - \frac{1}{2}AB$ . On a donc  $B'M = \frac{1}{2}BC + \frac{1}{2}AB - BI_C = \frac{1}{2}AC = B'C$ , toujours par 1.3

4. Voir en annexe la preuve du fait que  $B'$  et  $B$  sont de part et d'autre de  $(CM)$ .

## 1.2 D'un point à l'autre

La propriété suivante va être essentielle pour la suite.

**1.4 Théorème. (Auberson)** Avec les notations de 1.2, les points  $M$  et  $N$  sont échangés par l'inversion de centre  $\omega$  et de cercle  $\Gamma$ .

*Démonstration.* Le lemme crucial est le suivant :

**1.5 Lemme.** Les points  $A, I_B, I_C, \omega, M$  sont cocycliques.

*Démonstration.* C'est évident pour les quatre premiers car les triangles  $A\omega I_B$  et  $A\omega I_C$  sont deux triangles rectangles accolés par leur hypoténuse donc inscrits dans le cercle  $\Omega$  de diamètre  $[\omega A]$ . Pour voir que  $M$  est aussi sur  $\Omega$  il suffit de montrer l'égalité d'angles<sup>5</sup>  $\mu' := \widehat{I_C M \omega} = \alpha := \widehat{I_C A \omega} = \frac{1}{2}\widehat{A}$ . On a vu qu'on a  $\mu := \widehat{\omega M C'} = \gamma = \widehat{\omega C B'} = \frac{1}{2}\widehat{C}$ . Par ailleurs, on a  $\mu + \mu' = \widehat{I_C M C'} = \widehat{I_C I_A B}$  comme angles alternes-internes et cet angle est égal à  $\widehat{B I_C I_A}$ , donc à  $\frac{\pi}{2} - \frac{\widehat{B}}{2}$ . On en déduit  $\mu' = \frac{\pi}{2} - \frac{\widehat{B}}{2} - \frac{\widehat{C}}{2} = \frac{\widehat{A}}{2} = \alpha$  comme attendu.

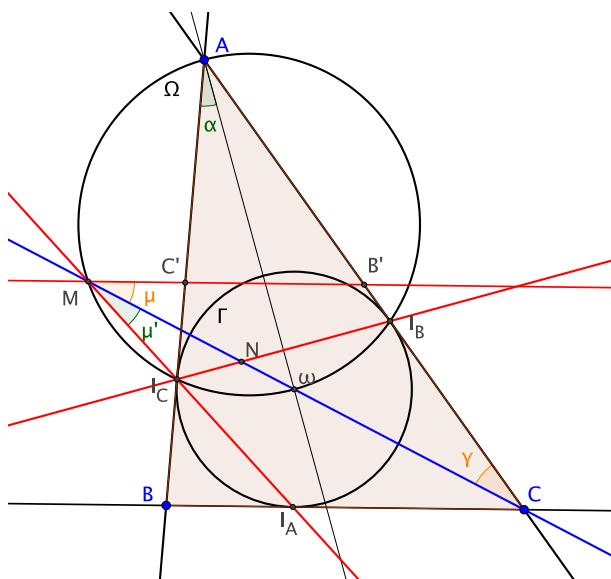


FIGURE 3 –

Le théorème est alors immédiat. En effet, comme le cercle  $\Omega$  contient le pôle d'inversion  $\omega$ , son image est une droite, qui contient les points  $I_C$  et  $I_B$  qui sont sur le cercle d'inversion. C'est donc la droite  $(I_C I_B)$  et l'image du point  $M$  est l'intersection de  $(I_C I_B)$  et de  $(\omega M) = (\omega C)$ , c'est-à-dire  $N$ .

5. En toute rigueur il faut montrer une égalité d'angles orientés, voir Annexe ci-dessous.

### 1.3 Les six points de Mahoux

Bien entendu, ce qu'on a fait ci-dessus avec les points  $M, N$  situés sur la droite  $(\omega C)$  peut se décaler sur les droites  $(\omega A)$  et  $(\omega B)$  en permutant circulairement les points  $A, B, C$ . On obtient ainsi six points (les six points de Mahoux) que l'on nomme  $M_A, N_A$  (sur  $(\omega A)$ ),  $M_B, N_B$  (sur  $(\omega B)$ ) et  $M_C, N_C$  (sur  $(\omega C)$ ) et ces six points sont deux à deux inverses dans l'inversion de cercle  $\Gamma$ , cercle inscrit dans  $ABC$ .

**1.6 Remarque.** Le lemme 1.5 montre aussi que l'angle  $\widehat{CMA} = \widehat{\omega MA}$  est droit puisque  $M$  est sur le cercle de diamètre  $[\omega A]$ . Il en résulte que les points de Mahoux sont les projetés orthogonaux des sommets de  $ABC$  sur les bissectrices.

### 1.4 Annexe : les questions de position

En vérité, les raisonnements ci-dessus sont souvent tributaires d'assertions de position que nous explicitons ici. Pour des précisions on pourra se reporter, par exemple, à la Brochure numéro 100 de l'IREM de Paris (*Enseigner la géométrie au cycle 4*).

1) Pour montrer que les angles  $\widehat{BCM}$  et  $\widehat{CMB'}$  sont alternes-internes, il faut vérifier que  $B$  et  $B'$  sont de part et d'autre de  $(CM)$ , ou encore que  $M$  est dans le secteur  $[\widehat{BCA}]$ . Comme  $M$  est sur  $(B'C')$  qui est parallèle à  $(BC)$ , il est clair qu'il est dans le demi-plan limité par  $(BC)$  qui contient  $A$ . Si  $B$  et  $M$  étaient de part et d'autre de  $(AC)$ , il en serait de même de  $M$  et  $I_A$  et  $[MI_A]$  couperait  $(AC)$ , et même  $[AC]$ , en  $P$ . Mais alors les points  $P \in [AC]$ ,  $I_A \in [BC]$  et  $I_C \in [AB]$  seraient alignés, contrairement à ce qu'affirme l'axiome de Pasch.

2) Dans la preuve de 1.5 on peut raisonner en termes d'angles de droites orientés (angles modulo  $\pi$ ), ce qui évite de distinguer les cas de figure. Il s'agit de montrer l'égalité d'angles  $(MI_C, M\omega) = (AI_C, A\omega) = \frac{1}{2}(AB, AC)$ . Mais on a  $(MI_C, M\omega) = (MI_C, MB') + (MB', M\omega)$ , puis  $(MI_C, MB') = (I_A I_C, I_A B)$ , comme angles alternes-internes et  $(MB', M\omega) = (CB, CM) = \frac{1}{2}(CB, CA)$  comme angles à la base du triangle isocèle  $MB'C$ . La somme des angles du triangle  $BI_A I_B$  donne  $(I_A I_C, I_A B) = \frac{\pi}{2} - \frac{1}{2}(BC, BA)$  et on conclut avec la somme des angles du triangle  $ABC$ .

## 2 Les centres des cercles circonscrits

### 2.1 Le théorème

Le résultat est le suivant :

**2.1 Théorème. (Cauche-Auberson)** Avec les notations du paragraphe 1.3, les centres des cercles circonscrits<sup>6</sup> aux triangles formés par les points de Mahoux  $M_A M_B M_C$  et  $N_A N_B N_C$  (resp.  $M_A M_B N_C$  et  $N_A N_B M_C$ , resp.  $M_B M_C N_A$  et  $N_B N_C M_A$ , resp.  $M_C M_A N_B$  et  $N_C N_A M_B$ ) sont alignés avec le centre  $\omega$  du cercle inscrit dans  $ABC$ .

Pour la démonstration nous aurons besoin du résultat suivant :

**2.2 Proposition.** Soit  $\Gamma$  un cercle de centre  $\omega$  et  $i_\Gamma$  l'inversion de cercle  $\Gamma$ . Si  $\mathcal{C}$  est un cercle ne passant pas par  $\omega$ , l'image  $\mathcal{C}'$  de  $\mathcal{C}$  par  $i_\Gamma$  est un cercle  $\mathcal{C}'$ . Les cercles  $\Gamma$ ,  $\mathcal{C}$  et  $\mathcal{C}'$  sont dans un même pinceau<sup>7</sup> et, en particulier, leurs centres sont alignés.

*Démonstration.* C'est un résultat classique sur l'inversion. Le fait que l'image soit un cercle, homothétique du premier dans une homothétie de centre  $\omega$  (ce qui donne l'alignement des centres) est dans le livre de Deltheil et Caire, voir [DC] leçon 21, N° 170. L'assertion sur le pinceau ne semble pas être explicitement dans [DC], mais elle est facile. En effet, si  $\Gamma$  et  $\mathcal{C}$  se coupent en deux points  $A, B$ , ces points sont fixes par l'inversion et  $\mathcal{C}'$  est donc dans le pinceau défini par ces points. Si  $\Gamma$  et  $\mathcal{C}$  ne se coupent pas on se ramène au cas précédent en considérant le pinceau orthogonal, voir [DC] leçon 22 N°177. Pour une version moderne, voir [DP] 4.1.8.

On peut alors montrer le théorème 2.1. Vu 1.4 et §1.3, le résultat est une conséquence immédiate du lemme suivant, qui est une conséquence de 2.2 :

**2.3 Lemme.** Soient  $\Gamma$  un cercle de centre  $\omega$ ,  $A, B, C$  trois points et  $A', B', C'$  leurs inverses dans l'inversion de cercle  $\Gamma$ . On suppose que les points  $A, B, C$  (resp.  $A', B', C'$ ) sont non alignés. Alors, le cercle  $\Gamma$  est dans le pinceau déterminé par les cercles  $\mathcal{C}$  et  $\mathcal{C}'$  circonscrits à  $ABC$  et  $A'B'C'$  et les centres de  $\Gamma$ ,  $\mathcal{C}$  et  $\mathcal{C}'$  sont alignés.

**2.4 Remarque.** Parmi les quatre pinceaux de cercles ainsi obtenus, l'expérience montre que trois sont à points base et un à points de Poncelet. Le lecteur attentif ne manquera pas de prouver ce résultat.

---

6. En toute rigueur, il faut montrer que les points en question sont non alignés, voir Annexe ci-dessous.

7. Autrefois on disait "faisceau".

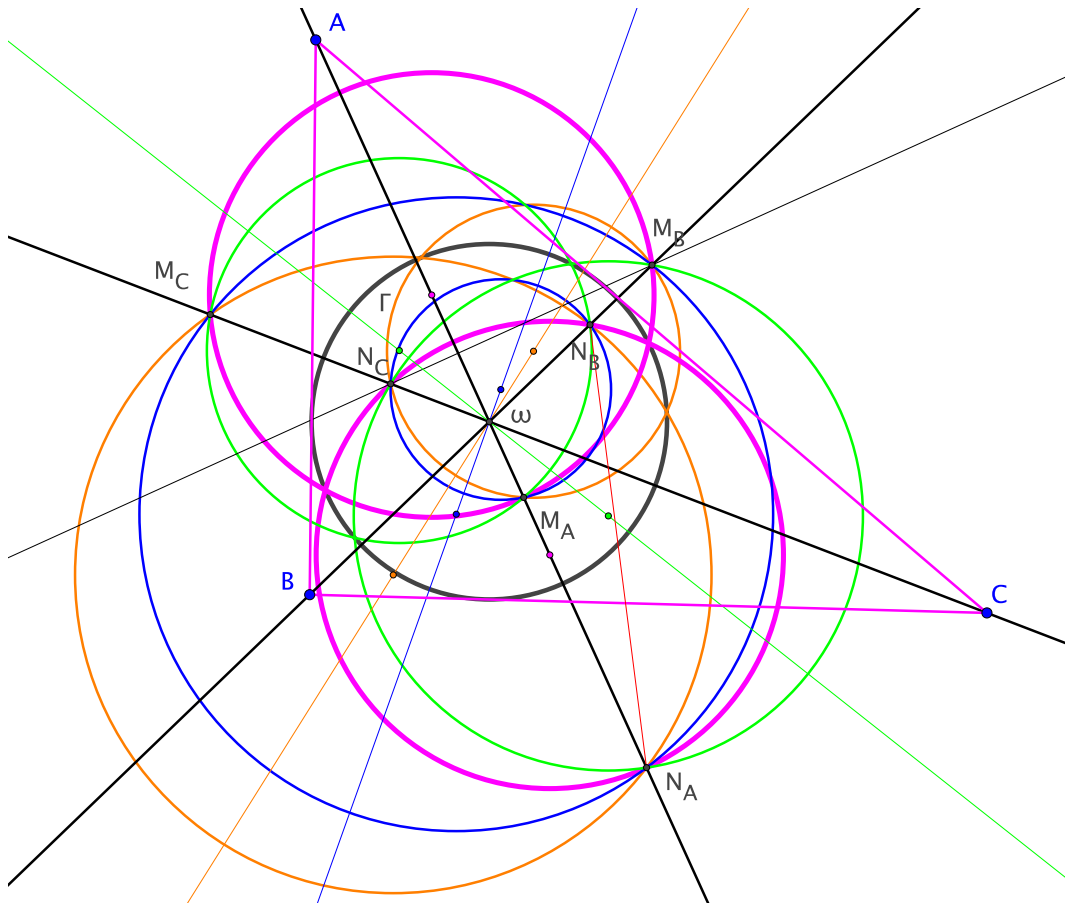


FIGURE 4 – Tous les cercles circonscrits et les alignements des centres

## 2.2 Annexe : le non alignement

**2.5 Proposition.** *Trois quelconques des points de Mahoux  $M_A, M_B, M_C, N_A, N_B, N_C$  admettant les trois indices  $A, B, C$  sont non alignés.*

On commence par un lemme :

**2.6 Lemme.** *Les points  $M_C$  et  $N_C$  sont dans la demi-droite ouverte  $]ωC'$  opposée à  $[ωC)$ .*

*Démonstration.* On note d'abord que l'angle  $\widehat{AωC}$  vaut  $\pi - \widehat{A}/2 - \widehat{C}/2$  et il est donc obtus. On sait que  $M_C$  est le projeté orthogonal de  $A$  sur  $(ωC)$ , de sorte que  $AM_C$  réalise la plus courte distance de  $A$  à cette droite et on a en particulier  $AM_C < Aω$  (puisque  $\widehat{AωC}$  n'est pas droit). Il suffit donc de montrer que, pour tout point  $P \in ]ωC)$ , on a  $AP > Aω$ . Mais on

a  $\widehat{A\omega C} = \widehat{A\omega P}$  et cet angle est obtus, de sorte que le côté  $AP$  du triangle  $A\omega P$  est le plus grand. L'argument est analogue pour  $N_C$ .

On peut alors prouver 2.5. Montrons par exemple que  $M_A, M_B, M_C$  sont non alignés, les autres cas sont analogues. On montre d'abord que  $M_C$  est dans le secteur saillant  $[\widehat{A\omega B}]$ . En effet,  $C$  est dans le demi-plan limité par  $(A\omega)$  qui ne contient pas  $B$  et dans celui limité par  $(B\omega)$  qui ne contient pas  $A$ , donc dans le secteur opposé à  $[\widehat{A\omega B}]$ , donc  $M_C$ , qui est dans la demi-droite opposée à  $[\omega C]$  en vertu du lemme, est dans  $[\widehat{A\omega B}]$ . Si les points  $M_A, M_B, M_C$  sont alignés sur une droite  $\Delta$ , cette droite coupe les côtés du secteur  $[\widehat{A\omega B}]$ , ce qui contredit l'assertion du lemme pour  $M_A$  et  $M_B$ .

## Références

- [DC] Deltheil Robert, Caire Daniel, *Géométrie*, Jacques Gabay, Paris, 1989.
- [DP] Perrin Daniel, *Géométrie projective et applications aux géométries euclidiennes et non euclidiennes, Partie VI, La géométrie anallagmatique*, <https://www.imo.universite-paris-saclay.fr/~daniel.perrin/Livregeometrie/DPPartie6.pdf>